

УДК 539. 3

В'ЯЗКОПРУЖНЕ ДЕФОРМУВАННЯ КРУГОВОГО ЦИЛІНДРА ПРИ ВНУТРІШНЬОМУ НАРОЩУВАННІ

Андрій СЯСЄВ

Дніпропетровський національний університет
просп. Науковий, 13 49050 Дніпропетровськ, Україна

Розглянуто задачу про в'язко-пружне деформування порожнистого циліндра при внутрішньому нарощуванні тиску. Процес неперервного нарощування є таким, що внутрішній радіус і тиск змінюються за заданими законами. Досліджено задачу у випадку лінійного закону, а також одержано числові результати для тимчасової залежності від тиску і руху для різних точок циліндра.

Ключові слова: в'язко-пружні деформації.

Процес розвитку нових технологій у виробництві оболонок, труб і інших деталей обертання шляхом нарощування, вимагає розвитку методів розрахунку, які повніше відображають властивості матеріалу, з якого виготовлено деталі. Відомо, що полімери, а останнім часом і деякі метали, які широко використовують для виготовлення труб методом відцентрового ліття [1], мають виражені властивості повзучості. Ця обставина призводить до перерозподілу напружень у деталі (трубі) у процесі нарощування, зміни форми і розмірів після виготовлення і під час навантаження.

Використання теорії в'язкопружності дає змогу теоретично оцінити ці чинники і побудувати технології відповідно до вимог, які ставлять до готової продукції.

Розглянемо порожнистий однорідний в'язкопружний круговий циліндр з внутрішнім радіусом a_0 і зовнішнім b_0 . Починаючи з моменту часу $t = 0$, до циліндра зсередини прикладається внутрішній тиск $P(t)$, $P(0) = P_0$ і починають його безупинне нарощування однорідним в'язкопружним матеріалом, так що внутрішній радіус циліндра монотонно спадає за законом $a(t)$, $a(0) = a_0$. У момент часу $t = T$ внутрішній радіус циліндра досягає значення a_1 і процес нарощування припиняється, тобто $a(t) = a_1$ при $t \geq T$.

Вважається, що функції $a(t)$ і $P(t)$ неперервно диференційовані на інтервалі $0 < t < T$. Потрібно визначити НДС у циліндрі для усіх $t \geq 0$.

У задачі [2] про нарощування циліндра зосереджено увагу на оцінці релаксації залишкових напруг. Мета статті – дослідити вплив часу нарощування на розподіл напружень у в'язкопружному порожнистому циліндрі. Відповідні співвідношення одержимо, використовуючи підхід викладений у [2].

Уведемо полярні координати r , θ , z і розглянемо плоску деформацію циліндра ($u_z = 0$), зберігаючи звичні позначення для переміщень, компонент тензора напружень і деформацій.

Запишемо основні рівняння задачі:
умову нестисливості

$$\varepsilon_r + \varepsilon_\theta = 0, \quad (1)$$

рівняння рівноваги

$$\frac{\partial \sigma_r}{\partial r} = -\frac{\sigma_r - \sigma_\theta}{r}, \quad (2)$$

співвідношення Коші для швидкостей деформацій і переміщень

$$\dot{\varepsilon}_r = \frac{\partial \dot{u}_r}{\partial r}, \quad \dot{\varepsilon}_\theta = \frac{\dot{u}}{r}. \quad (3)$$

Крапкою позначена частинна похідна за часом.

Оскільки усі компоненти деформації, крім ε_r і ε_θ , дорівнюють нулю, то з урахуванням (1), $\varepsilon_u = (2\varepsilon_{ij}\varepsilon_{ij})^{1/2} = 2|\varepsilon_r| = 2|\varepsilon_\theta|$. Звідси і з визначальних рівнянь нелінійної теорії повзучості для неоднорідно-старіючих тіл [3] через умову $\varepsilon_\theta > 0$ рівняння стану запишемо у вигляді

$$\begin{aligned} \sigma_r(t, r) - \sigma_\theta(t, r) &= 2G_1(t - \tau^*) (\varepsilon_r(t, r) - \varepsilon_\theta(t, r)) \varepsilon_\theta^{m-1}(t, r) - \\ &- \int_{\tau^*}^t R_1(t - \tau^*, \tau - \tau^*) (\varepsilon_r(\tau, r) - \varepsilon_\theta(\tau, r)) \varepsilon_\theta^{m-1}(\tau, r) d\tau. \end{aligned} \quad (4)$$

Тут позначено $G_1 = G \cdot 2^{m-1}$, $R_1 = R \cdot 2^{m-1}$.

Функція $\tau^* = \tau^*(r)$ дорівнює нулю при $a_0 \leq r \leq b_0$ і збігається з функцією, оберненої до функції $a(t)$, при $a_1 \leq r \leq a_0$.

Границні умови мають вигляд

$$\sigma_r|_{r=b_0} = 0, \quad \sigma_r|_{r=a(t), 0 \leq t < T} = -P(t), \quad \sigma_\alpha|_{r=a_1, t \geq T} = 0, \quad \alpha = r, \theta. \quad (5)$$

Продиференціювавши (1) за часом і підставивши в отримане рівняння співвідношення (3), прийдемо до рівняння

$$\frac{\partial \dot{u}_r}{\partial r} + \frac{\dot{u}_r}{r} = 0.$$

Звідси

$$\dot{u}_r = \frac{c(t)}{r}, \quad \dot{\varepsilon}_r = -\dot{\varepsilon}_\theta = -\frac{c(t)}{r^2}, \quad (6)$$

де $c(t)$ – деяка функція, яку потрібно визначити.

З (6) із урахуванням початкової умови $u_r(\tau^*(r), r) = \varepsilon_\theta(\tau^*(r), r) = 0$ випливає, що

$$u_r(t, r) = \frac{A(t) - A(\tau^*(r))}{r}, \quad (7)$$

$$-\varepsilon_r(t, r) = \varepsilon_\theta(t, r) = \frac{A(t) - A(\tau^*(r))}{r^2}, \quad \text{якщо } a(t) \leq r < a_0; \quad (8)$$

$$u_r(t, r) = A(t)/r, \quad (9)$$

$$-\varepsilon_r(t, r) = \varepsilon_\theta(t, r) = A(t)/r^2, \quad \text{якщо } a_0 \leq r \leq b_0; \quad (10)$$

$$A(t) = - \int_0^t c(\tau) d\tau. \quad (11)$$

Інтегрування в (11) містить точку $t = 0$. Отже, якщо сингулярну складову функції $c(t)$ позначити через $c_0\delta(t)$, то границя функції $A(t)$ у точці $t = 0$ праворуч дорівнює c_0 .

Виразимо напруження σ_r через функцію $A(t)$ для вихідного циліндра області нарощування.

A^0 . Область $a_0 \leq r \leq b_0$.

Підставляючи в (4) вирази для компонент деформації (10), отримаємо

$$\sigma_r(t, r) - \sigma_\theta(t, r) = -\frac{2}{r^{2m}} \left[2G_1(t) A^m(t) - \int_0^t R_1(t, \tau) A^m(\tau) d\tau \right]. \quad (12)$$

Зінтегрувавши рівняння (2) у межах від r до b_0 (з урахуванням граничної умови (5), і підставивши в результат інтегрування (12), одержимо

$$\sigma_r(t, r) = - \int_r^{b_0} \frac{2dr}{r^{2m+1}} \left[2G_1(t) A^m(t) - \int_0^t R_1(t, \tau) A^m(\tau) d\tau \right]. \quad (13)$$

B^0 . Область $a(t) \leq r < a_0$.

Підставляючи в (4) вирази для компонент деформації (8), матимемо

$$\begin{aligned} \sigma_r(t, r) - \sigma_\theta(t, r) = & -\frac{2}{r^{2m}} [2G_1(t - \tau^*(r)) (A(t) - A(\tau^*(r)))^m - \\ & - \int_{\tau^*(r)}^t R_1(t - \tau^*(r), \tau - \tau^*(r)) (A(\tau) - A(\tau^*(r)))^m d\tau]. \end{aligned} \quad (14)$$

Зінтегрувавши (2) у межах від $a(t)$ до r (з урахуванням граничної умови (5)), і підставивши результат інтегрування в (14), отримаємо

$$\begin{aligned} \sigma_r(t, r) = & -P(t) + \int_{a(t)}^r \frac{2dr}{r^{2m+1}} [2G_1(t - \tau^*(r)) (A(t) - A(\tau^*(r)))^m - \\ & - \int_{\tau^*(r)}^t R_1(t - \tau^*(r), \tau - \tau^*(r)) (A(\tau) - A(\tau^*(r)))^m d\tau]. \end{aligned} \quad (15)$$

Після заміни змінної $r = a(s)$ ($s = \tau^*(r)$) у рівнянні (15) і зміни порядку інтегрування, одержуємо

$$\begin{aligned} \sigma_r(t, r) = & -P(t) - \left[\int_{\tau^*(r)}^t \frac{2\dot{a}(\tau)}{a^{2m+1}(\tau)} 2G_1(t - \tau) (A(t) - A(\tau))^m d\tau - \right. \\ & \left. - \int_{\tau^*(r)}^t d\tau \int_{\tau^*(r)}^\tau ds R_1(t - s, \tau - s) \frac{2\dot{a}(s)}{a^{2m+1}(s)} (A(\tau) - A(s))^m \right]. \end{aligned} \quad (16)$$

Рівняння для визначення $A(t)$ отримуємо з умови неперервності напружень $\sigma_r(t, r)$ на межі розділу двох розглянутих областей, тобто при $r = a_0$. Підставляючи в (13) і (16) значення $r = a_0$ і прирівнюючи праві частини, прийдемо до

нелінійного інтегрального рівняння для визначення функції $A(t)$

$$\begin{aligned} H_1 \left(2G_1(t) A^m(t) - \int_0^t R_1(t, \tau) A^m(\tau) d\tau \right) + \int_0^t H_2(t, \tau) (A(t) - A(\tau))^m d\tau - \\ - \int_0^t \int_0^\tau H_3(t, \tau, s) (A(\tau) - A(s))^m ds d\tau = P(t). \end{aligned} \quad (17)$$

Тут

$$\begin{aligned} H_1 = \int_{a_0}^{b_0} \frac{2dr}{r^{2m+1}}, \quad H_2(t, \tau) = \frac{2\dot{a}(\tau)}{a^{2m+1}(\tau)} 2G_1(t - \tau), \\ H_3(t, \tau, s) = \frac{2\dot{a}(s)}{a^{2m+1}(s)} R_1(t - s, \tau - s). \end{aligned}$$

Визначивши з рівняння (17) функцію $A(t)$, знаходимо переміщення u_r і компоненти деформацій ε_r і ε_θ за формулами (7) - (10), а напруження σ_r і σ_θ за формулами (12), (13), (14), (16). Для напруження σ_z з умовою $\varepsilon_z = 0$ і рівняння стану, згаданого в [3, 4], маємо $\sigma_z = \frac{1}{2}(\sigma_r + \sigma_\theta)$.

Розглянемо випадок нарощування за лінійного закону повзучості. Випадок лінійного закону повзучості можна досліджувати, прийнявши у визначених співвідношеннях $m = 1$. Наведемо зведення відповідних формул; з (9), (10), (12), (4) матимемо

$$\begin{aligned} u_r(t, r) = A(t)/r, \quad -\varepsilon_r(t, r) = \varepsilon_\theta(t, r) = A(t)/r^2, \\ \sigma_r(t, r) - \sigma_\theta(t, r) = -\frac{2}{r^2} \left(2G(t) A(t) - \int_0^t R(t, \tau) A(\tau) d\tau \right), \end{aligned}$$

якщо $a_0 \leq r \leq b_0$.

З (7), (8), (14), (16) одержимо

$$\begin{aligned} u_r(t, r) = \frac{A(t) - A(\tau^*(r))}{r}, \quad -\varepsilon_r(t, r) = \varepsilon_\theta(t, r) = (A(t) - A(\tau^*(r)))/r^2, \\ \sigma_r(t, r) - \sigma_\theta(t, r) = -\frac{2}{r^2} \left[2G(t - \tau^*(r)) (A(t) - A(\tau^*(r))) - \right. \\ \left. - \int_{\tau^*(r)}^t R(t - \tau^*(r), \tau - \tau^*(r)) (A(\tau) - A(\tau^*(r))) d\tau \right], \end{aligned} \quad (19)$$

якщо $a(t) \leq r < a_0$, і

$$\begin{aligned} \sigma_z = \frac{1}{2} (\sigma_r + \sigma_\theta), \\ D_1(t) A(t) - \int_0^t D_2(t, \tau) A(\tau) d\tau = P(t), \end{aligned} \quad (20)$$

$$D_1(t) = \int_{a(t)}^{b_0} 2G(t - \tau^*(r)) \frac{2dr}{r^3},$$

$$D_2(t, \tau) = \int_{a(\tau)}^{b_0} R(t - \tau^*(r), \tau - \tau^*(r)) \frac{2dr}{r^3} +$$

$$+ \frac{2\dot{a}(\tau)}{a^3(\tau)} \left(2G(t - \tau) - \int_{\tau}^t R(t - \tau, s - \tau) ds \right).$$

Зауважимо, що рівняння (20) одержали з рівняння (17) і його розв'язок можна подати в квадратурах [2, 3].

Візьмемо ядро релаксації у формі [2]

$$R(t, \tau) = \frac{\partial \mu(t, \tau)}{\partial \tau}, \quad \mu(t, \tau) = 2G(\tau) - \varphi(\tau) \left(1 - e^{-\gamma(t-\tau)} \right). \quad (21)$$

Рівняння (20), використовуючи співвідношення (21), можна записати у вигляді

$$A(t) \mu_1(t, t) - \int_0^t \frac{\partial \mu_1(t, \tau)}{\partial \tau} A(\tau) d\tau = P(t), \quad (22)$$

де

$$\mu_1(t, \tau) = \int_{a(t)}^{b_0} \mu(t - \tau^*(r), \tau - \tau^*(r)) \frac{2dr}{r^3}. \quad (23)$$

Підставляючи (21) у (23), одержимо

$$\mu_1(t, \tau) = 2G_2(\tau) - \varphi_2(\tau) \left(1 - e^{-\gamma(t-\tau)} \right),$$

$$G_2(\tau) = \int_{a(t)}^{b_0} G(\tau - \tau^*(r)) \frac{2dr}{r^3}, \quad \varphi_2(\tau) = \int_{a(t)}^{b_0} \varphi(\tau - \tau^*(r)) \frac{2dr}{r^3}. \quad (24)$$

Рівняння (22) можна звести до диференціального рівняння другого порядку щодо функції $A(t)$ [4, 5]. Справді, зінтегрувавши це рівняння вроздріб із урахуванням (23), (24), запишемо його у вигляді

$$\int_0^t \dot{A}(\tau) \left[2G_2(\tau) - \varphi_2(\tau) \left(1 - e^{-\gamma(t-\tau)} \right) \right] d\tau = P(t).$$

Диференціюючи останнє рівняння послідовно два рази за t , одержимо

$$2G_2(t) \ddot{A}(t) - \int_0^t \dot{A}(\tau) \varphi_2(\tau) \gamma e^{-\gamma(t-\tau)} d\tau = \ddot{P}(t), \quad (25)$$

$$2G_2(t) \ddot{A}(t) + 2\dot{G}_2(t) \dot{A}(t) - \gamma \varphi_2(t) \dot{A}(t) +$$

$$+ \gamma^2 \int_0^t \dot{A}(\tau) \varphi_2(\tau) e^{-\gamma(t-\tau)} d\tau = \ddot{P}(t).$$

Виключивши з цих співвідношень інтеграл $\int_0^t \dot{A}(\tau) \varphi_2(\tau) e^{-\gamma(t-\tau)} d\tau$, отримаємо диференціальне рівняння для $A(t)$

$$2G_2(t) \ddot{A}(t) + \dot{A}(t) \left[2\dot{G}_2(t) - \gamma\varphi_2(t) + \gamma 2G_2(t) \right] = \ddot{P}(t) + \gamma \dot{P}(t), \quad (26)$$

з початковими умовами, що випливають безпосередньо з (22) і (25) з урахуванням (23), (24)

$$A(0) = \frac{P(0)}{2G_2(0)}, \quad \dot{A}(0) = \frac{\dot{P}(0)}{2G_2(0)}. \quad (27)$$

Розв'язавши рівняння (26) з початковими умовами (27), остаточно одержимо розв'язок для функції $A(t)$

$$A(t) = \frac{P_0}{2G_2(0)} + \frac{\dot{P}(0)}{2G_2(0)} \int_0^t e^{-\eta(\tau)} d\tau + \int_0^t e^{-\eta(\tau)} d\tau \int_0^\tau \frac{\ddot{P}(x) + \gamma \dot{P}(x)}{2G_2(x)} e^{\eta(x)} dx, \quad (28)$$

$$\text{де } \eta(\tau) = \int_0^\tau \left[\gamma + \left(2\dot{G}_2(z) - \gamma\varphi_2(z) \right) 2G_2^{-1}(z) \right] dz.$$

Визначивши функцію $A(t)$ з рівняння (28), знаходимо переміщення u_r , компоненти деформацій $\varepsilon_r, \varepsilon_\theta$ а також напруження за формулами (18), (19).

Розглянемо лінійний випадок. Функцію $\mu(t, \tau)$ візьмемо у вигляді (21), за умови, що

$$G = \text{const}, \quad \varphi(\tau) = 2G(C_0 + A_0 e^{-\beta\tau}). \quad (29)$$

Закон зміни внутрішнього радіуса циліндра $a(t)$ задовольняє співвідношення

$$\frac{1}{a^2(t)} = \frac{1}{a_0^2} + \left(\frac{1}{a_1^2} - \frac{1}{a_0^2} \right) \frac{t}{T}, \quad 0 \leq t \leq T. \quad (30)$$

За допомогою співвідношень (26) і (27) ядро рівняння (22), а також ядра інтегральних операторів у (18), (19) виражаються елементарними функціями. Нехай внутрішній тиск рівномірно спадає на проміжку $[0, T]$ до значення удвічі меншого, ніж початкове, і в момент закінчення нарощування $t = T$ стає нульовим.

На рис. 1, 2 і 3, 4 зображені часові залежності максимального дотичного напруження і переміщень u_r для таких точок циліндра: $1-r = b_0; 2-r = a_0-0 = 0,9b_0-0; 3-r = 0,79b_0$. Під час обчислень параметри C_0, A_0, β, γ і розміри a_0, a_1 були фіксовані і становили: $C_0 = 0.05; A_0 = 0.75; \beta = 0.02\text{год}^{-1}; \gamma = 0,1\text{год}^{-1}$; $a_0 = 0,9b_0; a_1 = 0,5b_0$. Тому що напруження не залежать від величини миттєвого модуля пружності G , а переміщення і деформації обернено пропорційні йому, в обчислennях можна вважати, що $G = 1$.

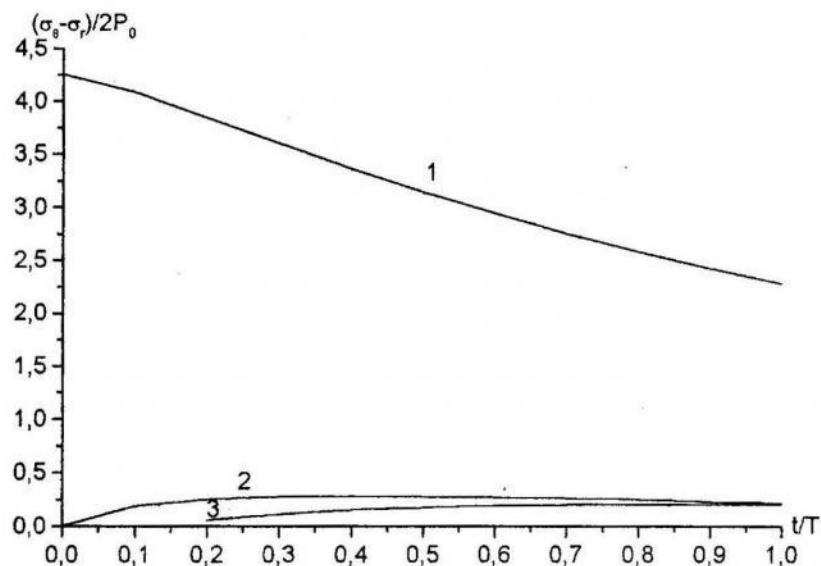


Рис. 1. Розподіл максимального дотичного напруження за часом нарощування при $T = 10$, $P = 1 - t/2T$.

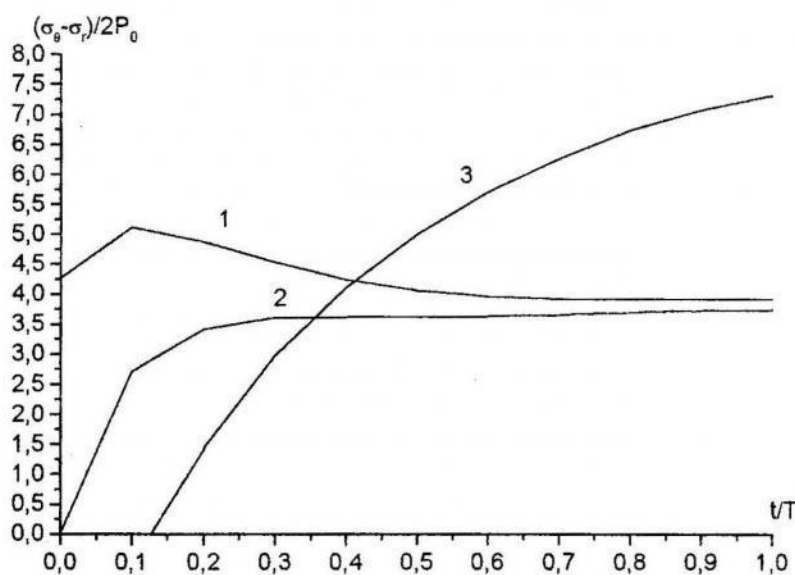


Рис. 2. Розподіл максимального дотичного напруження за часом нарощування при $T = 50$, $P = 1 - t/2T$.

Як видно з рис. 1, 2, 3, 4 тривалість процесу нарощування впливає як на напруженій стан, так і на переміщення точок циліндра. Характер кривих змінюється незначно, проте значно змінюються величини самих напружень і переміщень. Наприклад, із рис. 1, 2 очевидно, що при десятіох годинах нарощування напруження в точці 1 монотонно спадають, а в точці 2 зростають незначно і до кінця процесу нарощування навіть дещо спадають, при п'ятидесятиох годинах нар-

шування картина зовсім інша – напруження в другій точці починають значно збільшуватися згодом і за своїми значеннями наближаються до значень у точці 1, а напруження в точці 3 зростають настільки, що перевищують напруження в точках 1 і 2 удвічі.

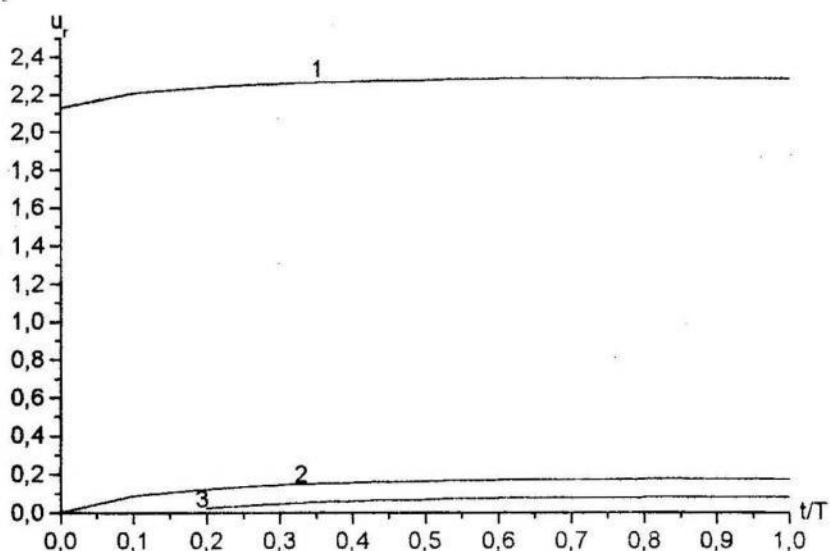


Рис. 3. Розподіл переміщень за часом нарощування при $T = 10$, $P = 1 - t/2T$.

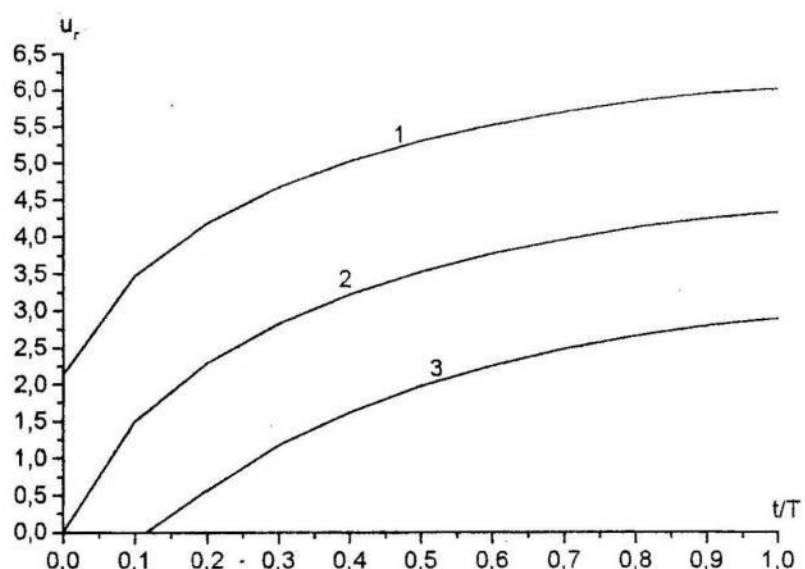


Рис. 4. Розподіл переміщень за часом нарощування при $T = 50$, $P = 1 - t/2T$.

Такий розподіл напружень можна пояснити так: по-перше, точки 2 і 3 уесь час перебувають більшіше до лінії дії навантаження порівняно з точкою 1, подруге, за швидшого процесу нарощування матеріал не встигає до кінця виявити свої в'язкопружні властивості, що підтверджують і криві для переміщень, зображені на рис.3, 4. Варто зауважити, що на всіх графіках характерна кутова

точка у момент часу $t/T = 0.1$ є наслідком недостатньо малого кроку розбиття за часом.

Отже, викладений метод обчислення дає змогу оцінити вплив часу нарощування на розподіл напружень і переміщень у в'язкопружному порожнистому круговому циліндрі, який виготовляють з однорідного в'язкопружного матеріалу.

1. Юдин С.Б. Центробежное литье. – М., 1972.
2. Сясеv A.B., Бинкевич Е.В. Наращивание вязкоупругого полого цилиндра при действии внутреннего давления // Вісн. Дніпропетров. держ. ун-ту. – 1999. – Т. 2. – Вип. 2. – С.153-160.
3. Арутюнян Н.Х., Колмановский В.Б. Теория ползучести неоднородных тел. – М., 1983.
4. Арутюнян Н.Х., Дроздов А.Д., Наумов В.Э. Механика растущих вязкоупруго-пластических тел. – М., 1987.
4. Демидович Б.П., Марон И.А., Шувалова Э.З. Численные методы анализа. М., – 1967.

VISCO-ELASTIC DEFORMATION OF A CIRCULAR CYLINDER ON THE INNER JOINTING

A. Syasev

National University of Dnipropetrovsk

13 Naukovi Side Str. 49050 Dnipropetrovsk, Ukraine

The task of the stress deformed condition of a visco-elastic hollow cylinder, which is jointed under the activity of internal pressure. The process of a continuous jointing is taking place on inner radius by such way that the radius and pressure change according to the given law. The special case of a linear law of creepage is considered; also the numerical results in the forms of the graphs of temporary dependence of stresses and moving for various points of cylinder are presented.

Key words: visco-elastic deformation.

Стаття надійшла до редколегії 15.01.2001

Прийнята до друку 03.07.2001